## Доклады Академин наук СССР 1972. Том 204, № 5

УДК 552.4:550.4:541.123

ПЕТРОГРАФИЯ

## И. П. ИВАНОВ, В. Ф. ГУСЫНИН

## ТОПОЛОГИЯ T-P-РАВНОВЕСИЙ В СИСТЕМЕ NaAlSiO $_4-\mathrm{SiO}_2-\mathrm{H}_2\mathrm{O}$ ПРИ ВЫСОКИХ ДАВЛЕНИЯХ ВОДЯНОГО ПАРА

(Представлено академиком Д. С. Коржинским 3 V 1971)

Система NaAlSiO<sub>4</sub> — SiO<sub>2</sub> — H<sub>2</sub>O является одной из немногих систем, в которых достаточно полно исследованы фазовые равновесия при высоких давлениях водяного пара, включая области ликвидуса и субсолидуса. С разной степенью детальности в ней экспериментально изучены кривые плавления кварца ( $^1$ ,  $^2$ ), нефелина ( $^1$ ,  $^3$ ,  $^6$ ), альбита ( $^4$ ), жадента ( $^6$ ); эвтектические кривые кварц + альбит = расплав ( $^4$ ,  $^5$ ,  $^6$ ), кварц + жадеит = расплав ( $^6$ ,  $^9$ ) и кривая инконгруентного плавления апальцима по реакции: анальцим = нефелин + жидкость ( $^6$ ,  $^9$ ). В области субсолидуса исследованы реакции дегидратации апальцима: анальцим = альбит + нефелин + нефелин + наши данные); анальцим = жадеит + нефелин + нефелин + наши данные); анальцим + жадеит ( $^6$ ,  $^{13}$ ,  $^{14}$ ) и твердофазовые реакции: альбит + кварц + жадеит ( $^6$ ,  $^{15}$ ) и жадеит + альбит + нефелин ( $^6$ ,  $^{13}$ ,  $^{15}$ ).

В исследуемой системе все эти равновесия, изученные разными авторами, могут быть представлены на единой T-P-диаграмме с учетом требований правила фаз. Предпринятую в последнее время в этом направлении попытку ( $^6$ ) нельзя считать успешной, так как авторы пе учли режим воды в эксперименте.

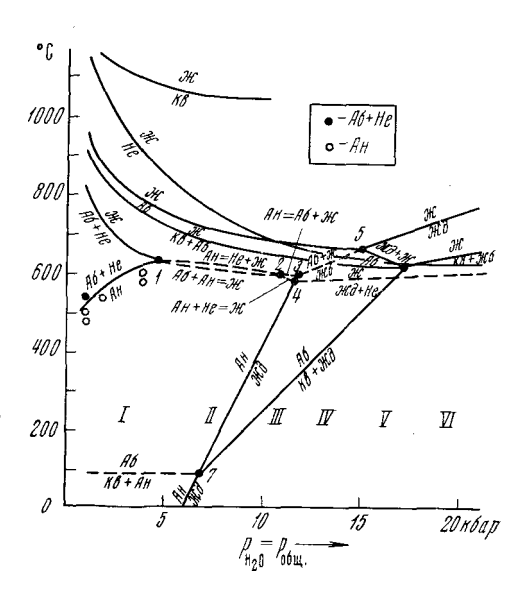
Рассмотрим T-P-равновесия в трехкомпонентной мультисистеме NaAlSiO<sub>4</sub> — SiO<sub>2</sub> — H<sub>2</sub>O при условии, что давление в экспериментах задается водяным паром. В режиме опыта количество воды в реакторе паходится в большом избытке против того количества ее, которое поглощается или выделяется в приведенных выше реакциях гидратации — дегидратации (включая образование расплавов, насыщенных водой). При таком режиме вода является избыточным инертным компонентом ( $^{16}$ ), и реакции гидратации — дегидратации в экспериментах должны протекать при максимальных значениях химического потенциала воды ( $\mu_{\rm H_2O}$  — max), которые определяются температурой и общим давлением. Виртуальными инертными компонентами в системе являются компоненты NaAlSiO<sub>4</sub> и SiO<sub>2</sub>, в отношении которых система является двухкомпонентной. В отношении компонента  $H_2O$  она эквипотенциальна. Следовательно, нонвариантные равновесия должны включать 4 фазы, моновариантные — 3 фазы и дивариантные — 2 фазы.

Топологическое исследование мультисистемы позволяет достаточно просто установить стабильные нонвавариантные точки и в первом приближении определить их координаты на общей T-P-диаграмме (точки пересечений экспериментально найденных моновариантных кривых). Построенная нами диаграмма состояния мультисистемы NaAlSiO<sub>4</sub> — SiO<sub>2</sub> —  $\mathbf{H}_2$ О показана на рис. 1. Она полностью отвечает правилу фаз:  $n_{T,P} = K_{\text{пн}} + 2 - \Phi = 4 - \Phi$ , где n — число степеней свобод,  $K_{\text{пн}}$  — число виртуальных инертных компонентов,  $\Phi$  — число фаз в равновесии. На диаграмме, кроме экспериментально найденных моновариантных кривых, выявились новые кривые, показанные пунктиром, которые гребуют экспе-

риментального подтверждения ( $A6 = \mathcal{H}_{\mathcal{A}} + \mathcal{H}_{\mathcal{A}}$ ;  $\mathcal{H}_{\mathcal{A}} = A6 + \mathcal{H}_{\mathcal{A}}$ ;  $\mathcal{H}_{\mathcal{A}} = \mathcal{H}_{\mathcal{A}} + \mathcal{H}_{\mathcal{A}}$ ;  $\mathcal{H}_{\mathcal{A}}$ 

На диаграмме (рис. 1) обозначены поля стабильности всех твердых фаз, входящих в мультисистему. Кривые плавления кварца, нефелина, альбита и эвтектические кривые  $\mathrm{KB} + \mathrm{Ab} + \mathrm{u} + \mathrm{Ab} + \mathrm{u}$  и и и отрицательный наклон ( $\mathrm{d}T/\mathrm{d}P$ ), причем наклон больше у тех кривых, которые связаны с плавлением твердых фаз с более высоким содержанием натрия. Для кривых плавления нефелина, альбита и эвтектики  $\mathrm{KB} + \mathrm{Ab}$  отрица-

Рис. 1. Общая T - P-диаграмма костояния системы NaAlSiO<sub>4</sub> — SiO<sub>2</sub> —  $H_2O$  по экспериментальным данным ( $^{1-15}$ ) при  $p_{U_2O}$  —  $P_{_{2O}GM}$ . Условные ообзначения: Кв — кварц, Аб — альбит, Ан кв — кварц, до — вывол, на анальцим, Жд — жадеит, Не — нефелин, Ж — расплав, насыщенный водой. I-6 — нопвариантные точки. I-VI — изобарические разрезы. Кружочками обозначены наши экспериментальные ные. Реакции ликвидуса: Кв +  $+ H_2O = \mathcal{H}, ext{ } H_0 + H_2O = \mathcal{H}, ext{ } \mathcal{H}_1 + H_2O = \mathcal{H}, ext{ } \mathcal{H}_2 + H_2O = \mathcal{H}, ext{ } \mathcal{H}_3 + H_2O = \mathcal{H}_3 +$  $\mathcal{K}_{\Pi} + \mathcal{H}_{2}O = A\delta + \mathcal{K}, \quad A\delta + \mathcal{H}_{2}O = \mathcal{K}_{\Pi} + \mathcal{K}, \quad AH + \mathcal{H}_{2}O = \mathcal{K}_{\Pi} + \mathcal{K}, \quad AH + \mathcal{H}_{2}O = \mathcal{K}_{\Pi} + \mathcal{K}, \quad AH + \mathcal{H}_{2}O = \mathcal{K}_{\Pi} + \mathcal{$  $= \text{He} + \text{M}, \text{AH} + \text{H}_2\text{O} = \text{A5} + \text{M}.$ Реакции солидуса:  $K_B + A6 + H_2O = \mathcal{H}$ ;  $K_B + \mathcal{H}_2H_2O = \mathcal{H}$ ;  $K_B + \mathcal{H}_2H_2O = \mathcal{H}$ ;  $A6 + H_2O = \mathcal{H}$ ; A6 + $+ A\pi + H_2O = \mathcal{K};$ AH + He + $+ H_2O = \mathcal{H}; \quad \mathcal{H}_{\mathcal{I}} + H_0 + H_2O =$  $= \mathcal{H}$ . Реакции субсолидуса:  $2A_{\rm H} = A_{\rm 0} + H_{\rm e} + 2H_{\rm 2O};$ = Жд + Н<sub>2</sub>O; Кв + Жд = Аб



тельный наклон сохраняется вплоть до давлений 15-17 кбар (кривая плавления альбита ограничивается нонвариантной точкой 5, а эвтектика кварц + альбит - нонвариантной точкой 6).

Кривые плавления жадеита и эвтектики кварц + жадеит, выходящие соответственно из понвариантных точек 5 и 6, наоборот, имеют положительный паклон. Переход от кривых с отрицательным наклоном к кривым с положительным наклоном в нопвариантных точках 5 и 6 связан с тем, что в области более высоких давлений альбит становится неустойчивым и вместо него стабильной оказывается более плотная фаза — жадеит.

Верхний предел устойчивости анальцима в интервале  $p_{\Pi_2O} = P_{06\Pi} = 5-10$  кбар ограничивается его инконгруентным плавлением (Ан = He + Ж; Ан = Аб + Ж). При построении этой границы было принято, что изменение состава перитектической жидкости в сторону нефелина ( $^9$ ) предолжается и при  $p_{H_2O} > 10$  кбар. Однако этот вопрос требует специальной экспериментальной проверки. Правая граница поля анальцима (моновариантная линия Ан = Жд + H<sub>2</sub>O), неоднократно проверенная экспериментально, имеет наклон, не свойственный для реакций гидратации — дегидратации в области субсолидуса (с увеличением  $p_{\Pi_2O}$  расширяется поле стабильности безводной фазы). Это связано с большой разностью между мольными объемами анальцима и жадеита ( $V_{\Lambda H} = 96.0$  см³/моль,  $V_{\pi_2} - 60.5$  см³/моль;  $V_{\Pi_2O} - 15.7 - 17.6$  см³/моль; для  $100^\circ$   $p_{H_2O} = 7$  кбар, а для  $400^\circ$   $p_{H_2O} = 9$  кбар).

Представленная нами общая T-P-диаграмма системы NaAlSiO<sub>4</sub> —  $-\text{SiO}_2$  —  $H_2O$  (рис. 1) весьма существенно отличается от общей T-P-

<sup>\*</sup> Символы фаз расшифрованы в подписи к рис. 1.

диаграммы, приведенной в работе ( $^6$ ), где  $H_2O$  рассматривается как виртуальный компонент ( $n=K+2-\mathcal{O}=5-\mathcal{O}$ ). Так, на нашей диаграмме отсутствует моновариантная линия твердофазовой реакции  $\mathcal{H}\mathfrak{A}=A\mathfrak{b}+H\mathfrak{e}$ . Линия  $A\mathfrak{b}=K\mathfrak{b}+\mathcal{H}\mathfrak{g}$  не заходит выше линий ликвидуса  $A\mathfrak{b}=\mathcal{H}$  и  $\mathcal{H}\mathfrak{g}=\mathcal{H}$ , поля анальцима и жадента не перекрываются между собой. В области субсолидуса поле анальцима не выходит за пределы

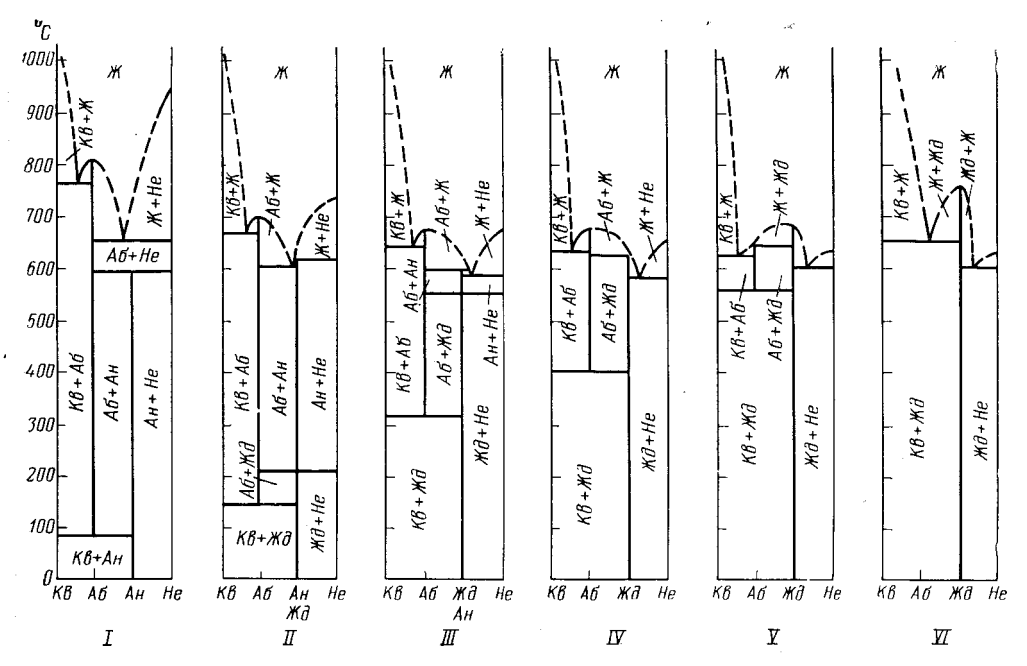


Рис. 2. Изобарические разрезы диаграммы рис. 1. Обозначения аналогичны рис. 1. Изобарические разрезы:  $I=3;\ II=8;\ III=11,3;\ IV=13;\ V=16;\ VI=20$  кбар

поля альбита при высоких давлениях. Наша диаграмма имеет более простую топологию.

Из анализа рис. 1 и2 следует:

Диаграммы позволяют оценить максимальный эффект понижения температуры ликвидуса и солидуса в системе с избытком воды по сравнению с «сухой» системой (Bell, Roseboom, 1964—1965). Так, при  $p_{\rm H_2O} = P_{\rm ofm} = 15$  кбар температура плавления альбита понижается на 610°, овтектики кварц + альбит — на 580°. Для природных реакций, в которых  $p_{\rm H_2O} < < P_{\rm ofm}$  понижение температуры должно быть меньше указанных значений и зависеть от парциального давления воды.

Кривая плавления альбита и эвтектика кварц + альбит, имеющие на T-P-диаграмме отрицательный наклон, не проходят через минимум (dT/dp=0) вплоть до  $p_{\rm H_2O}=15-17$  кбар. Это позволяет заключить, что в пределах земной коры с увеличением глубины вода должна более эффективно понижать температуру плавления и кристаллизации гранитной магмы. Положение кривых ликвидуса и солидуса на рис. 1 и 2 показывает, что щелочная магма должна кристаллизоваться при более низких температурах, чем гранитная.

Из экспериментов следует, что анальцим может образоваться в процессе кристаллизации щелочной магмы на глубинах порядка 20-30 км только при допущении, что там должно иметь место высокое парциальное давление водяного пара ( $\mu_{\text{Ho}0} = \text{max}$ ).

Институт экспериментальной минералогии Академии наук СССР Черноголовка Моск. обл. Поступило 16 IV 1971

## ЦИТИРОВАННАЯ ЛИТЕРАТУРА

<sup>1</sup> H. S. Yoder, Carnegie Inst. Wash. Year Book, 57, 189 (1958). <sup>2</sup> G. C. Kennedy, G. J. Wasserburg et al., Am. J. Sci., 260, 501 (1962). <sup>3</sup> Y. W. Greig, F. F. W. Barth, Am. J. Sci., 5 th Ser., 35-A, 93 (1938). <sup>4</sup> O. F. Tuttle, N. L. Bowen, Geol. Soc. Am. Mem., 74, 153 (1958). <sup>5</sup> W. C. Luth, R. H. Yahns, O. F. Tuttle, J. Geophys. Res., 69, 759 (1964). <sup>6</sup> A. L. Boettcher, P. Y. Wyllie, Am. J. Sci., 267, 875 (1969). <sup>7</sup> R. W. Goranson, Am. J. Sci., 5th Ser., 35-A, 71 (1938). <sup>8</sup> C. W. Burham, R. H. Yahns, Am. J. Sci., 260, 721 (1962). <sup>9</sup> T. Peters, W. C. Luth, O. F. Tuttle, Am. Min., 51, 736 (1966). <sup>10</sup> P. Saha, Am. Mineral., 46, 859 (1961). <sup>11</sup> L. B. Sand, R. Roy, E. F. Osborn, Econ. Geol., 52, 169 (1957). <sup>12</sup> H. S. Yoder, Carnegie Inst. Wash. Year Book, 53, 121 (1953—1954). <sup>13</sup> M. S. Newton, G. C. Kennedy, Am. J. Sci., 266, № 8 (1968). <sup>14</sup> D. T. Griggs, G. C. Kennedy, Am. J. Sci., 255, 722 (1956). <sup>15</sup> M. H. Manghani, Phys. of the Earth and Planetary Interiors, 3, 1970. <sup>16</sup> Д. С. Коржинский, Физико-химические основы анализа парагенезисов минералов, Изд. АН СССР, 1957.